

DOI:10.19853/j.zgjsps.1000-4602.2021.15.016

# Ce掺杂铁基催化剂活化过硫酸盐降解罗丹明B

李 静<sup>1,2</sup>, 吴 钦<sup>2</sup>, 张 资<sup>2</sup>, 刘占孟<sup>2</sup>

(1. 河北科技工程职业技术大学 建筑工程系, 河北 邢台 054035; 2. 华东交通大学  
土木建筑学院, 江西 南昌 330013)

**摘要:** 针对印染废水这种典型的难降解废水, 制备了铈(Ce)掺杂铁基催化剂(Ce-Fe), 并采用其活化过硫酸盐(PDS)降解罗丹明B(RhB)。采用共沉淀后高温煅烧的方法制备了Ce-Fe复合催化材料, 并通过扫描电镜(SEM)、X射线衍射仪(XRD)和X射线光电子能谱(XPS)对其进行形貌表征和物性测定。以RhB为目标污染物, 考察了铈掺杂量、PDS投加量、催化剂投加量和pH值等因素对RhB降解效果的影响, 并探讨了Ce-Fe催化剂重复使用的效果。结果表明, Ce-Fe催化剂可以有效活化PDS降解RhB, 在PDS投加量为1.0 g/L、Ce-Fe催化剂投加量为1.0 g/L、铈/铁掺杂比例为1/25、溶液pH值为7的条件下, 反应45 min后对RhB的降解率达到88.9%。自由基鉴定结果表明, 该体系主要的活性物种是SO<sub>4</sub><sup>·-</sup>。再生实验结果证明, 该复合材料能够重复多次使用且总体稳定性较好。

**关键词:** Ce-Fe催化剂; 过硫酸盐; 罗丹明B; 硫酸根自由基

**中图分类号:** TU992    **文献标识码:** A    **文章编号:** 1000-4602(2021)15-0095-07

## Persulfate Activated by Ce-doped Iron-based Catalyst for Degradation of Rhodamine B

LI Jing<sup>1,2</sup>, WU Qin<sup>2</sup>, ZHANG Zi<sup>2</sup>, LIU Zhan-meng<sup>2</sup>

(1. Department of Architecture and Civil Engineering, Hebei Vocational University of Technology and Engineering, Xingtai 054035, China; 2. School of Civil Engineering and Architecture, East China Jiaotong University, Nanchang 330013, China)

**Abstract:** Dyeing wastewater is a typical refractory wastewater. To solve this problem, persulfate (PDS) activated by Ce-doped iron-based (Ce-Fe) catalyst was used to degrade rhodamine B (RhB). The Ce-Fe composite catalytic material was prepared by high-temperature calcination after co-precipitation, and its morphology and physical properties were characterized by scanning electron microscope (SEM), X-ray diffraction (XRD) and X-ray photoelectron spectroscopy (XPS). Effects of the cerium doping amount, PDS dosage, catalyst dosage and pH value on the degradation performance of RhB were investigated, and the re-use performance of Ce-Fe catalyst was also discussed. The Ce-Fe catalyst could effectively activate PDS to degrade RhB. When PDS dosage was 1.0 g/L, Ce-Fe catalyst dosage was 1.0 g/L, cerium/iron doping ratio was 1/25 and solution pH value was 7, the degradation

**基金项目:** 国家自然科学基金资助项目(51468016); 江西省重点研发计划项目(20203BBGL73230); 江西省教育厅科技计划项目(GJJ200617)

**通信作者:** 刘占孟 E-mail:ustblzm@163.com

efficiency of RhB reached 88.9% after reaction for 45 min. Free radical identification experiments indicated that the main active species in the system was  $\text{SO}_4^{\cdot-}$ . Regeneration experiments proved that the composite material could be used repeatedly and had favorable stability in general.

**Key words:** Ce-Fe catalyst; persulfate; rhodamine B; sulfate radical

纺织、皮革、造纸、制药和食品工业产生的大量染料废水对水环境造成的污染日趋严重<sup>[1-2]</sup>。印染废水属于典型的难降解工业废水<sup>[3]</sup>,常规工艺的处理效果难以保障。高级氧化技术在工业废水处理中应用广泛,其主要是通过产生具有强氧化能力的自由基来降解有机污染物<sup>[4]</sup>。硫酸根自由基( $\text{SO}_4^{\cdot-}$ )具有超高的氧化还原电位(2.5~3.1 V),其氧化性能超过了羟基自由基( $\cdot\text{OH}$ ),因而被建议可作为 $\cdot\text{OH}$ 的替代物<sup>[5-7]</sup>。过硫酸盐(PDS)活化方式主要包括碱活化<sup>[8]</sup>、热活化<sup>[9]</sup>、超声波活化<sup>[10]</sup>、紫外线活化<sup>[11]</sup>和过渡金属离子活化<sup>[12]</sup>等。其中过渡金属离子活化PDS无需能量,并且活化效率高,然而处理后的水样中残留有大量金属离子,存在二次污染风险<sup>[13-14]</sup>。相比于单一金属氧化物,复合多金属氧化物不仅提高了催化活性,还能有效抑制反应过程中金属离子的溶出,提高氧化物的稳定性和使用寿命<sup>[15]</sup>。研究表明,铈掺杂过渡金属氧化物可改变过渡金属氧化物表面与体相结构,基于电子间的协同效应,在增加体相结构缺陷的同时,使得复合金属氧化物的催化活性明显改善<sup>[16]</sup>。

笔者通过共沉淀后煅烧方法制备了铈掺杂铁基催化剂Ce-Fe,选取典型难降解染料罗丹明B(RhB)作为目标污染物,采取单因素实验优化相关工艺参数,借助现代仪器对催化剂进行形貌结构表征,以期为印染废水的深度治理和PDS的非均相高效催化剂的制备提供参考。

## 1 材料与方法

### 1.1 催化剂的制备

通过共沉淀后煅烧方法制备铈掺杂铁基催化剂Ce-Fe。称取一定量的氯化铁、硫酸亚铁、硝酸铈,溶解于50 mL去离子水中,在50 °C水浴条件下边搅拌边逐滴加入氨水,直至有黑色沉淀生成,而后继续搅拌30 min,取出后采用冰浴迅速冷却至室温,采用真空抽滤方式进行过滤,先采用无水乙醇洗涤数次,之后再用去离子水反复洗涤直至上清液呈中性,滤干后放入烘箱中(70 °C)。对烘干后的固体进行研磨,所得产品即为Ce-Fe催化剂。

### 1.2 实验方法

以超纯水配制不同浓度的罗丹明B溶液,每次实验取100 mL,分别置于250 mL锥形瓶中,置入恒温振荡箱中(温度为25 °C、振荡速度为130 r/min),调节pH值,加入一定量的过硫酸钠和Ce-Fe催化剂后开始计时,每隔一定时间取样分析。RhB含量采用分光光度法(最大吸收波长为554 nm)测定。

### 1.3 催化剂的表征

采用扫描电镜(SEM)分析样品的形貌特征;采用X射线衍射仪(XRD)分析样品的晶型结构;采用X射线光电子能谱(XPS)测试样品的组成。

## 2 结果与讨论

### 2.1 铈掺杂铁基催化剂Ce-Fe的表征

#### 2.1.1 SEM分析

图1为铈掺杂铁基催化剂Ce-Fe的SEM照片。可以看出,催化剂呈团聚状态,粒径在300~500 nm之间,该催化剂孔隙较发达,由圆球形和层状物质组成,整体呈现不规则的聚集形态。

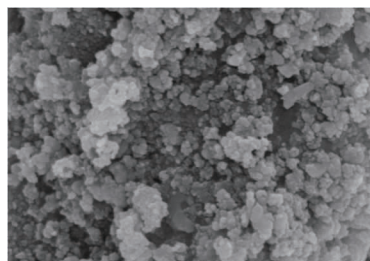


图1 铈掺杂铁基催化剂Ce-Fe的SEM照片

Fig. 1 SEM image of Ce-Fe catalyst

#### 2.1.2 XRD分析

图2为铈掺杂铁基催化剂Ce-Fe的XRD谱图。从图2可以看出,催化剂Ce-Fe在 $2\theta$ 分别为28.4°、32.3°、35.7°、47.2°、57.2°处出现了特征衍射峰。35.7°处的衍射峰与 $\text{Fe}_3\text{O}_4$ 标准卡片(JCPDS 65-3170)相吻合;28.4°、32.3°、47.2°、57.2°处的特征衍射峰分别对应(111)、(200)、(220)和(311) $\text{CeO}_2$ 晶面的特征衍射峰,与同样立方相 $\text{CeO}_2$ 标准卡片(JCPDS 43-1002)相吻合。可见, $\text{CeO}_2$ 成功包覆在催化剂表面。另外,从图2还可以看出,铈掺杂

铁基催化剂 Ce - Fe 的衍射峰均较尖锐、分离度高,说明所制备样品具有较高的纯度和结晶度。

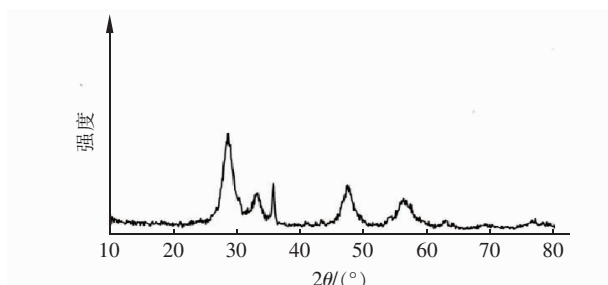


图2 长掺杂铁基催化剂Ce-Fe的XRD谱图

Fig. 2 XRD spectrogram of Ce-Fe catalyst

### 2.1.3 XPS分析

图3为Ce-Fe催化剂的XPS谱图。从图3(a)可以看出,催化剂中主要包含碳(C 1s)、氧(O 1s)、铈(Ce 3d)、铁(Fe 2p)。在催化剂制备过程中,反应原料长时间暴露在空气中,使得全谱扫描图中有碳元素的存在。由图3(b)可知,Ce-Fe催化剂的O 1s谱图在530.0和531.1 eV结合能处出现了重叠峰,分别对应氧化物(O<sup>2-</sup>)和氢氧根(OH<sup>-</sup>)两种氧元素的物质形态。

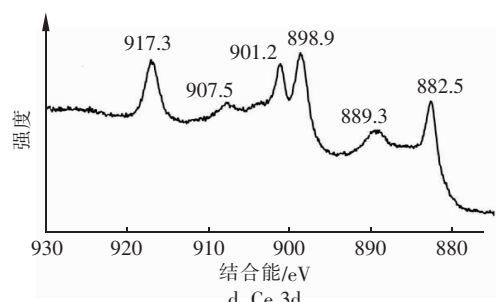
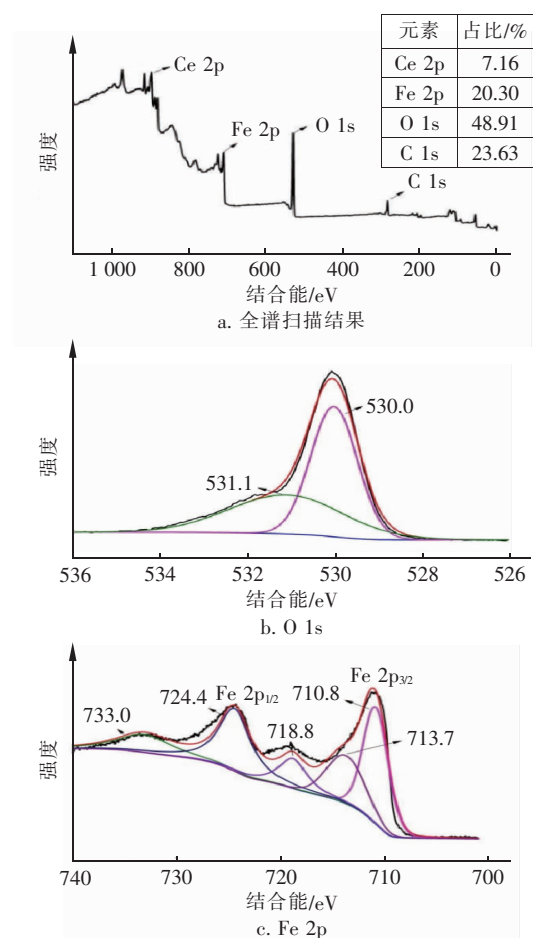


图3 长掺杂铁基催化剂Ce-Fe的XPS谱图

Fig. 3 XPS spectrogram of Ce-Fe catalyst

由图3(c)可以看出,Fe 2p谱图存在结合能为710.8和724.4 eV的双特征峰,分别对应Fe<sub>3</sub>O<sub>4</sub>的Fe 2p<sub>3/2</sub>轨道和Fe 2p<sub>1/2</sub>轨道,另外在两峰之间存在结合能为718.8 eV的特征峰,所以可以确定催化剂中Fe元素以多种价态的形式存在。由图3(d)可知,在Ce 3d谱图中存在多个结合能峰,其中在结合能为917.3、907.5、901.2、898.9、882.5 eV处的特征峰对应Ce<sup>4+</sup>,889.3 eV处对应Ce<sup>3+</sup>,表明铈元素在Ce-Fe催化剂表面也是以多种价态形式存在。

### 2.2 Ce-Fe催化剂活化PDS对RhB的降解效果

#### 2.2.1 Ce掺杂量对RhB降解效果的影响

在RhB浓度为50 mg/L、pH值为7、PDS投加量为1.0 g/L、催化剂投加量为1.0 g/L条件下,Ce掺杂量对RhB降解效果的影响如图4所示。

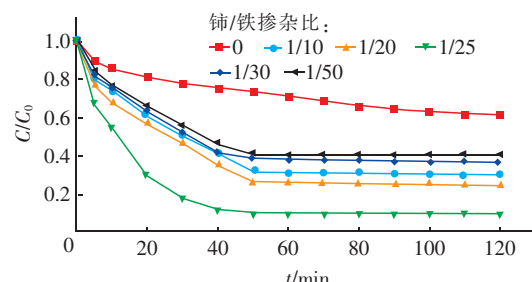


图4 Ce掺杂量对RhB降解效果的影响

Fig. 4 Effect of Ce doping amount on RhB degradation

由图4可知,复合催化剂活化PDS在铈/铁掺杂比例为0(铈掺杂量为0)、1/10、1/20、1/25、1/30、1/50时,RhB的降解率分别为38%、69.2%、75%、89.5%、63%、59.1%。加入Ce-Fe催化剂的体系对RhB的降解率较高是由于掺杂的铈在催化剂材料中可形成空穴<sup>[17]</sup>,并以二价和四价的铈形式促进了二价铁和三价铁之间的转化,增加了活性位点,加快了反应效率。可见,当铈/铁掺杂比为1/25时得到的Ce-Fe催化剂活化PDS对RhB的降解效果最好,继续增大掺杂比例会使剩余的铈在铁基材料外

产生包覆作用进而降低活化性能。

### 2.2.2 PDS 投加量对 RhB 降解效果的影响

在催化剂投加量为 1.0 g/L、RhB 浓度为 50 mg/L 条件下, 分析 PDS 投加量对 RhB 降解效果的影响, 结果如图 5 所示。

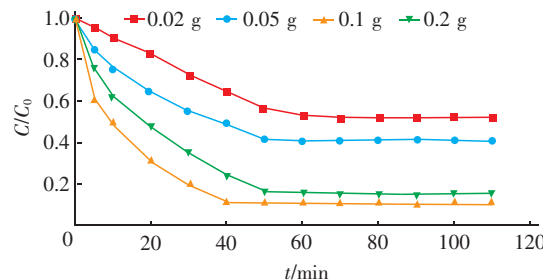
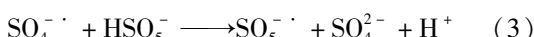
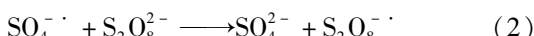
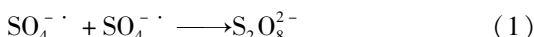


图 5 PDS 投加量对 RhB 降解效果的影响

Fig. 5 Effect of PDS dosage on RhB degradation

由图 5 可知, RhB 降解率随着 PDS 投加量的增加而增大。反应 50 min 后, 当 PDS 投加量为 0.02 g 时, 对 RhB 的降解率为 47.9%; 当 PDS 投加量增至 0.1 g 时, 对 RhB 的降解率达到了 89.7%。此外, 从图 5 还可以看出, 随着 PDS 投加量的增加, 对反应速率的影响不大, 但对目标有机物的降解效果越来越好。分析原因, 当较多的 Ce/Fe 活性位点与 PDS 接触时, 可产生较多的  $\text{SO}_4^{\cdot -}$ , 使得 RhB 降解率越来越高。然而当 PDS 投加量增大至 0.2 g 时, 对 RhB 的降解率反而略微下降, 这是由于过量投加 PDS 会生成大量自由基, 与目标有机物竞争  $\text{SO}_4^{\cdot -}$ , 从而发生淬灭反应, 降低  $\text{SO}_4^{\cdot -}$  的有效利用率<sup>[18]</sup>。另外, 溶液中的  $\text{HSO}_5^-$  也会消耗  $\text{SO}_4^{\cdot -}$  生成氧化能力较弱的  $\text{SO}_5^{\cdot -}$ <sup>[19]</sup>, 见式(1)~(3)。



### 2.2.3 催化剂投加量对 RhB 降解效果的影响

在 RhB 浓度为 50 mg/L、PDS 投加量为 1.0 g/L、温度为 25 ℃、pH 值为 6.5 条件下, 分析 Ce-Fe 催化剂投加量对 RhB 降解效果的影响, 结果如图 6 所示。可以看出, 不同催化剂投加量下, RhB 降解率均随着反应时间的延长先增加后趋于平缓。当催化剂投加量为 0.02、0.05、0.1、0.2、0.3 g 时, 反应 70 min 后, 对 RhB 的降解率分别为 33.4%、50.9%、84.7%、89.9%、92.9%。同时可以观察到, 当催化剂投加量由 0.02 g 增加到 0.1 g 时, RhB 降解率显

著提升, 反应速率也明显加快。当催化剂投加量为 0.1、0.2 和 0.3 g 时, 反应速率均较低投加量的明显加快, 但该三者差距不大, 尽管 RhB 降解率也在逐步升高, 但提升不明显。RhB 降解率随着催化剂投加量增加而增大的原因是, 增加催化剂投加量能够为体系提供更多的活性位点与 PDS 发生催化反应, 从而生成更多的  $\text{SO}_4^{\cdot -}$  来降解 RhB。

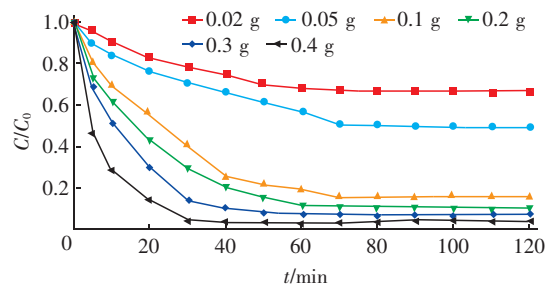


图 6 Ce-Fe 催化剂投加量对 RhB 降解效果的影响

Fig. 6 Effect of Ce-Fe catalyst dosage on RhB degradation

### 2.2.4 初始 pH 值对 RhB 降解效果的影响

在 RhB 浓度为 50 mg/L、PDS 投加量为 1.0 g/L、Ce-Fe 催化剂投加量为 1.0 g/L、温度为 25 ℃ 条件下, 考察 pH 值对 RhB 降解效果的影响, 结果如图 7 所示。

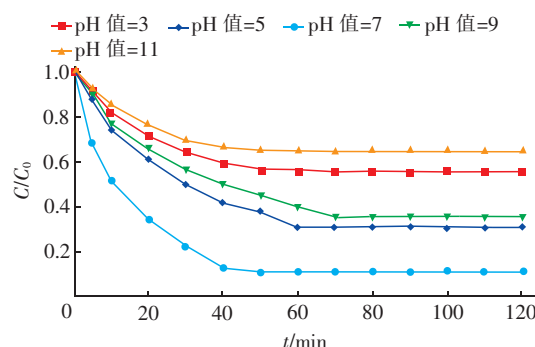
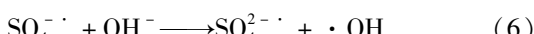


图 7 pH 值对 RhB 降解效果的影响

Fig. 7 Effect of pH value on RhB degradation

由图 7 可以看出, 当初始 pH 值为 3、5、7、9、11 时, 反应达到稳定的处理效果所需时间分别为 80、65、45、70 和 80 min, 反应速率随着 pH 值的增加先加快后减慢, 同时对 RhB 的降解效果呈现出与反应速率相同的变化趋势。当 pH 值为 3 时, 对 RhB 的降解率为 44.4%; 当 pH 值为 11 时, 对 RhB 的降解率为 35.2%, 此时对 RhB 的降解效果最差; 当 pH 值为 7 时, 对 RhB 的降解率最高, 为 88.9%。这是因为当初始 pH 值 < 7 时, 即酸性条件,  $\text{SO}_4^{\cdot -}$  是体系中主要的自由基, 此时体系中的  $\text{H}^+$  与  $\text{SO}_4^{\cdot -}$  和

$\cdot\text{OH}$  会发生淬灭反应,从而减弱反应体系的氧化能力,见式(4)和式(5);而当初始 pH 值 > 7 时,即碱性条件, $\cdot\text{OH}$  是体系中主要的自由基,此时  $\text{SO}_4^{\cdot-}$  与氢氧根离子发生反应,见式(6),使得  $\text{SO}_4^{\cdot-}$  浓度下降,同时  $\cdot\text{OH}$  的氧化还原电位低于  $\text{SO}_4^{\cdot-}$ ,也会导致体系的氧化能力下降,从而降低 RhB 的降解率<sup>[20]</sup>。



### 2.3 自由基的鉴别

判别自由基种类是探究活化 PDS 催化体系反应机制的重要一步。本实验采用分子探针方法进行自由基鉴别。乙醇(EtOH)和叔丁醇(TBA)是常用来辨别  $\text{SO}_4^{\cdot-}$  和  $\cdot\text{OH}$  的分子探针,可以检测反应体系中是否存在  $\text{SO}_4^{\cdot-}$  和  $\cdot\text{OH}$ ,并能间接推断出氧化体系中主导自由基的种类。由于 EtOH 对  $\cdot\text{OH}$  和  $\text{SO}_4^{\cdot-}$  都具有较好的淬灭效果,而 TBA 对  $\cdot\text{OH}$  的淬灭作用显著强于  $\text{SO}_4^{\cdot-}$ ,因此本实验利用 EtOH 与 TBA 分别作为  $\text{SO}_4^{\cdot-}$  和  $\cdot\text{OH}$  的淬灭剂,结果如图 8 所示。

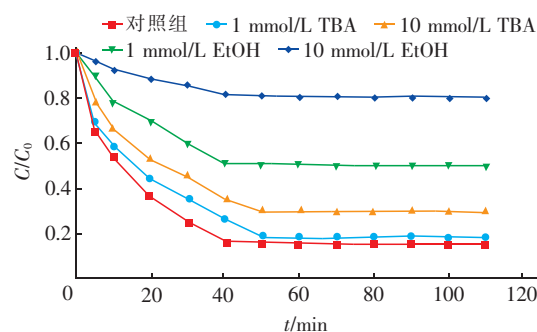
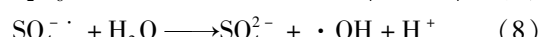
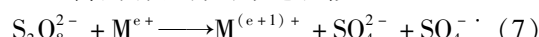


图 8 不同淬灭剂对罗丹明 B 降解效果的影响

Fig. 8 Effect of different quenchers on RhB degradation

由图 8 可知,当 TBA 投加量为 1 mmol/L 时,反应 110 min 后,RhB 降解率为 81.7%,相比未添加淬灭剂,降解效果降低不显著;当 TBA 投加量增加至 10 mmol/L 时,对 RhB 的降解效果亦未明显恶化,降解率仍然达到了 70.7%。然而,当 EtOH 投加量为 1 mmol/L 时,相比未添加淬灭剂,对 RhB 的降解效果明显降低;继续增加 EtOH 投加量至 10 mmol/L 时,对 RhB 的降解效果进一步被抑制,降解率仅为 18.9%。因此,在 Ce - Fe 催化剂活化 PDS 体系中, $\text{SO}_4^{\cdot-}$  和  $\cdot\text{OH}$  均存在,且  $\text{SO}_4^{\cdot-}$  占主导地位,具体

反应见式(7)和式(8)。这与文献[21]和[22]中关于活化 PDS 降解有机物的结论相似。



### 2.4 催化剂的循环性和稳定性

为了进一步研究铈掺杂铁基催化剂 Ce - Fe 的稳定性,进行催化剂循环实验,结果如图 9 所示。铈掺杂铁基催化剂 Ce - Fe 经多次循环使用后,催化活性仍然较高。然而由于重复使用过程中 Fe 和 Ce 离子的流失,4 次循环过后,对 RhB 的降解率降至 71.3%。但整体而言,该催化剂稳定性良好,可多次重复使用。

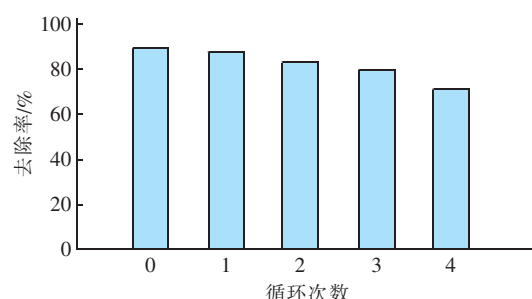


图 9 Ce - Fe 催化剂循环次数对 RhB 降解效果的影响

Fig. 9 Effect of cycle times of Ce-Fe catalyst on RhB degradation

### 3 结论

① 采用共沉淀后高温煅烧的方法制备了铈掺杂铁基催化剂 Ce - Fe,用于活化 PDS 降解 RhB,并通过 SEM、XRD、XPS 手段进行了表征。SEM 结果表明,制备的铈掺杂催化剂主要是由圆球形和层状物质组成,并同时团聚在一起,且孔隙较为发达。XRD 结果表明,掺杂的 Ce 以  $\text{CeO}_2$  的形式完美地包覆在铁基催化剂表面,制得了纯度较高且有较好结晶度的 Ce - Fe 催化剂。XPS 全谱扫描结果表明,催化剂中 Ce、Fe 元素均以多种价态形式存在。

② 在 Ce - Fe/PDS 体系中,RhB 的降解率随着 PDS 投加量的增加而升高,但过高的投加量会抑制目标有机物的降解;随着催化剂 Ce - Fe 投加量的增加,对 RhB 的降解率也随之增加;相较于酸性或碱性条件,当 pH 值为 7 时,对 RhB 的降解率达到最大值,反应速率也最快。

③ 自由基淬灭实验结果表明,硫酸根自由基是 Ce - Fe/PDS 体系中产生的主要活性物质。催化剂 Ce - Fe 表现出良好的重复利用性和稳定性,在

循环使用4次后,对RhB的降解率仍能保持在70%以上,可多次重复使用。

### 参考文献:

- [1] 曹华莉,马志飞,吴山,等. 氮掺杂石墨碳包埋Fe<sup>0</sup>复合材料的制备及活化过硫酸盐性能研究[J]. 环境科学学报,2020,40(3):930–939.  
CAO Huali, MA Zhifei, WU Shan, et al. Preparation and properties of nitrogen-doped-graphite-carbon-zero-valent iron composite for persulfate activation [J]. Acta Scientiae Circumstantiae, 2020, 40 ( 3 ) : 930 – 939 ( in Chinese ).
- [2] MA R, ZHANG S, WEN T, et al. A critical review on visible-light-response CeO<sub>2</sub>-based photocatalysts with enhanced photooxidation of organic pollutants [J]. Catalysis Today, 2019, 335:20 – 30.
- [3] 杨珂,唐琪,杨晓丹,等. 铁酸铜非均相活化过硫酸盐降解罗丹明B[J]. 中国环境科学,2019,39(9):3761–3769.  
YANG Ke, TANG Qi, YANG Xiaodan, et al. Degradation of rhodamine B by heterogeneous activation of persulfate with copper ferrate [J]. China Environmental Science, 2019,39(9):3761 – 3769 ( in Chinese ).
- [4] 赵雪瑞,刘锋,陈家斌,等. 铁炭活化过硫酸盐降解碱性高浓度有机废液[J]. 工业水处理,2020,40(2):83 – 86,91.  
ZHAO Xuerui, LIU Feng, CHEN Jiabin, et al. Degradation of alkaline high-concentration organic wastewater by zero-valent iron and activated carbon activated persulfate [J]. Industrial Water Treatment, 2020,40(2):83 – 86,91 ( in Chinese ).
- [5] CHI H Y, WAN J Q, MA Y W, et al. Ferrous metal-organic frameworks with stronger coordinatively unsaturated metal sites for persulfate activation to effectively degrade dibutyl phthalate in wastewater[J]. Journal of Hazardous Materials,2019,377:163 – 171.
- [6] DEVI P, DAS U, DALAI A K. In-situ chemical oxidation: principle and applications of peroxide and persulfate treatments in wastewater systems[J]. Science of the Total Environment,2016,571:643 – 657.
- [7] GHANBRAI F, MORADI M, GOHARI F, et al. Degradation of 2, 4, 6-trichlorophenol in aqueous solutions using peroxyomonosulfate/activated carbon/UV process via sulfate and hydroxyl radicals[J]. Journal of Water Process Engineering,2016,9:22 – 28.
- [8] 徐西蒙,宗绍燕,刘丹. 钢渣碱活化过硫酸盐降解双酚A[J]. 中国环境科学,2019,39(7):2889 – 2895.  
XU Ximeng, ZONG Shaoyan, LIU Dan. Bisphenol A degradation by base-activated persulfate using steel slag [J]. China Environmental Science, 2019, 39 ( 7 ) : 2889 – 2895 ( in Chinese ).
- [9] WANG Z Y, SHAO Y S, GAO N Y, et al. Degradation kinetic of phthalate esters and the formation of brominated byproducts in heat-activated persulfate system[J]. Chemical Engineering Journal, 2019, 359: 1086 – 1096.
- [10] XIAO R Y, LUO Z H, WEI Z S, et al. Activation of peroxyomonosulfate/persulfate by nanomaterials for sulfate radical-based advanced oxidation technologies [J]. Current Opinion in Chemical Engineering, 2018, 19: 51 – 58.
- [11] LI Q, WANG L F, ZHANG L, et al. Rapid degradation of tetrabromobisphenol A under the UV/TiO<sub>2</sub>/KPS systems in alkaline aqueous solutions[J]. Research on Chemical Intermediates,2019,45(2):757 – 768.
- [12] NIE W S, MAO Q H, DING Y B, et al. Highly efficient catalysis of chalcopyrite with surface bonded ferrous species for activation of peroxyomonosulfate toward degradation of bisphenol A: a mechanism study [J]. Journal of Hazardous Materials,2019,364:59 – 68.
- [13] 钟欣,吴迪,张凯欣,等. 光助Fe/BiOCl活化过硫酸盐降解橙黄II[J]. 环境化学,2019,38(12):2860 – 2868.  
ZHONG Xin, WU Di, ZHANG Kaixin, et al. Photo-assisted activation of persulfate by using Fe/BiOCl for the degradation of azo dye orange II [J]. Environmental Chemistry,2019,38(12):2860 – 2868 ( in Chinese ).
- [14] 占鹏,孙微,胡锋平,等. 纳米Fe<sub>3</sub>O<sub>4</sub>活化氧化体系处理垃圾渗滤液实验探究[J]. 工业水处理,2019,39(11):58 – 61.  
ZHAN Peng, SUN Wei, HU Fengping, et al. Experimental study on the treatment of landfill leachate with nano-Fe<sub>3</sub>O<sub>4</sub> activated oxidation system [ J ]. Industrial Water Treatment, 2019, 39 ( 11 ) : 58 – 61 ( in Chinese ).
- [15] ZHOU Y B, ZHANG Y L, HU X M. Synergistic coupling Co<sub>3</sub>Fe<sub>7</sub> alloy and CoFe<sub>2</sub>O<sub>4</sub> spinel for highly efficient removal of 2, 4-dichlorophenol by activating peroxyomonosulfate [ J ]. Chemosphere, 2020, 242: 125244 – 125256.
- [16] DONG C D, HUANG C P, NGUYEN T B, et al. The degradation of phthalate esters in marine sediments by

- persulfate over iron-cerium oxide catalyst [J]. *Science of the Total Environment*, 2019, 696: 133973 – 133982.
- [17] WANG Y S, ZHAN Y L, YAN X Y, et al. Investigations Ce doped MnO<sub>2</sub>/rGO as high performance supercapacitors material [J]. *Russian Journal of Electrochemistry*, 2018, 54(3): 283 – 291.
- [18] 张倩, 谢陈飞洋, 仇玥, 等. Fe/污泥基生物炭持久活化过硫酸盐降解酸性橙G[J]. *中国环境科学*, 2019, 39(9): 3879 – 3886.  
ZHANG Qian, XIE Chenfeiyang, QIU Yue, et al. Durable degradation of orange G using persulfate activated by sludge-derived heterogeneous catalyst [J]. *China Environmental Science*, 2019, 39(9): 3879 – 3886 (in Chinese).
- [19] 余月城, 董正玉, 吴丽颖, 等. MnFe<sub>2</sub>O<sub>4</sub>活化过一硫酸盐降解废水中LAS[J]. *中国环境科学*, 2019, 39(8): 3323 – 3331.  
SHE Yuecheng, DONG Zhengyu, WU Liying, et al. Degradation of LAS in wastewater by peroxyomonosulfate activated by MnFe<sub>2</sub>O<sub>4</sub> [J]. *China Environmental Science*, 2019, 39(8): 3323 – 3331 (in Chinese).
- [20] 李强, 唐海, 张昊楠, 等.  $\alpha$ -Fe<sub>2</sub>O<sub>3</sub>砂芯微球制备及紫外辅助下活化PMS降解AO7[J]. *中国环境科学*, 2019, 39(9): 3832 – 3839.  
LI Qiang, TANG Hai, ZHANG Haonan, et al. Preparation of  $\alpha$ -Fe<sub>2</sub>O<sub>3</sub> sand core microspheres for the activation of UV-assisted peroxyomonosulfate on the degradation of AO7 [J]. *China Environmental Science*, 2019, 39(9): 3832 – 3839 (in Chinese).
- [21] WANG J L, WANG S Z. Activation of persulfate (PS) and peroxyomonosulfate (PMS) and application for the degradation of emerging contaminants [J]. *Chemical Engineering Journal*, 2018, 334: 1502 – 1517.
- [22] SHAO P H, DUAN X G, XU J, et al. Heterogeneous activation of peroxyomonosulfate by amorphous boron for degradation of bisphenol S [J]. *Journal of Hazardous Materials*, 2017, 322: 532 – 539.

**作者简介:**李静(1976–),女,河北馆陶人,硕士,副教授,高级工程师,主要研究方向为水处理药剂学及水处理高级氧化技术。

**E-mail:**67531577@qq.com

**收稿日期:**2020–05–20

**修回日期:**2020–11–03

(编辑:任莹莹)

(上接第94页)

- anions [J]. *Chemical Engineering Journal*, 2018, 351: 688 – 696.
- [14] TAN C Q, FU D F, GAO N Y, et al. Kinetic degradation of chloramphenicol in water by UV/persulfate system [J]. *Journal of Photochemistry and Photobiology A: Chemistry*, 2017, 332: 406 – 412.
- [15] 安继斌, 夏春秋, 陈红宇, 等. UVA/Fe<sub>3</sub>O<sub>4</sub>活化过硫酸盐降解阿特拉津[J]. *环境科学研究*, 2018, 31(1): 130 – 135.  
AN Jibin, XIA Chunqiu, CHEN Hongyu, et al. Activation of persulfate by irradiated magnetite: implications for abatement of atrazine in aqueous solution [J]. *Research of Environmental Sciences*, 2018, 31(1): 130 – 135 (in Chinese).
- [16] TAN C Q, GAO N Y, DENG Y, et al. Radical induced

degradation of acetaminophen with Fe<sub>3</sub>O<sub>4</sub> magnetic nanoparticles as heterogeneous activator of peroxyomonosulfate [J]. *Journal of Hazardous Materials*, 2014, 276: 452 – 460.

- [17] DONG H R, DENG J M, XIE Y K, et al. Stabilization of nanoscale zero-valent iron (nZVI) with modified biochar for Cr(Ⅵ) removal from aqueous solution [J]. *Journal of Hazardous Materials*, 2017, 332: 79 – 86.

**作者简介:**苏冰琴(1972–),女,山西忻州人,博士,副教授,硕士生导师,主要研究方向为水污染控制理论与技术。

**E-mail:**1251345607@qq.com

**收稿日期:**2020–10–06

**修回日期:**2020–11–04

(编辑:任莹莹)